

Optymalizacja (minimalizacja) metodą Monte Carlo

Zagadnienie optymalizacji – sformułowanie problemu

- Problem optymalizacji wartości funkcji możemy sformułować jako zagadnienie poszukiwania wartości ekstremalnych, tj. maksimum bądź minimum. Maksimum możemy zamienić w minimum przemnażając funkcję przez czynnik **(-1)**, zatem proces optymalizacji sprowadzany jest zazwyczaj do poszukiwania minimum wartości funkcji.
- minimum może być:
  - globalne (tego zazwyczaj szukamy)
  - lokalne (to zazwyczaj przeszkadza)

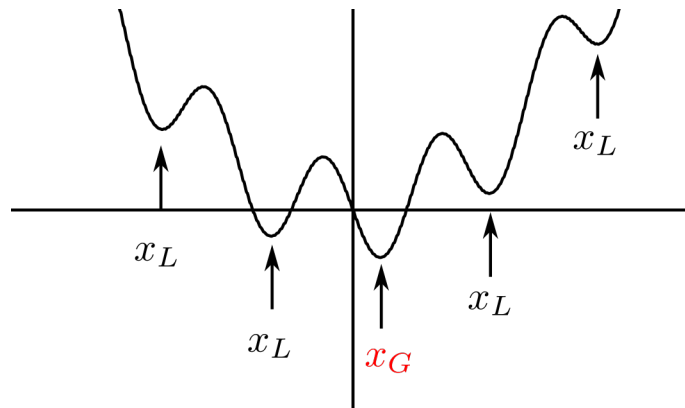
Zdefiniujmy matematycznie punkt w którym funkcja posiada **minimum globalne** ( $x_G$ )

$$f : R^n \rightarrow R$$

$$\min f(\vec{x}) = f(\vec{x}_G) \iff \bigwedge_{\vec{x} \in R^n} f(\vec{x}_G) < f(\vec{x})$$

oraz punkt stanowiący **minimum lokalne** ( $x_L$ )

$$\exists \varepsilon : \varepsilon > 0, \varepsilon \in R \quad \bigwedge_{\|\vec{x} - \vec{x}_L\| < \varepsilon} f(\vec{x}_L) < f(\vec{x}) \quad \wedge \quad f(\vec{x}_L) > f(\vec{x}_G)$$



„Klasyczne” metody poszukiwania minimum wartości funkcji to metody iteracyjne

- (1D) metoda złotego podziału, metoda interpolacji kwadratowej Powella
- (>1D) metoda sprzężonego gradientu, największego spadku, Newtona (metody gradientowe)  
lub metoda Simplex (bezgradientowa)
- wadą metod standardowych jest to że potrafią znaleźć minimum zazwyczaj, gdy punkt startowy znajduje się w jego pobliżu (tak działają metody gradientowe)
- metody te znajdują pojedyncze minimum, więc nie ma pewności czy jest to minimum lokalne czy globalne (choć tej pewności na ogół nie mamy także w przypadku metody MC)
- zastosowanie standardowego podejścia sprawdza się w przypadku gdy liczba wymiarów przestrzeni, w której poszukujemy rozwiązania jest niewielka, rzędu 1-10
- klasyczne metody działają tylko dla problemów zdefiniowanych przy pomocy funkcji ciągłych, w przypadkach dyskretnych (np. problemy kombinatoryczne) stają się bezużyteczne

## Przykład - problem komiwojażera

Dany jest zbiór miast które komiwojażer chce odwiedzić tylko raz i w takiej kolejności aby trasa je łącząca była najkrótsza i zamknięta.

położenia miast  $\vec{d} = \{\vec{r}_1, \vec{r}_2, \dots, \vec{r}_n\}$

$$\min S = \sum_i \sum_{j>i} c_{ij} \cdot s_{ij} + s_{fl}, \quad s_{ij} = |\vec{r}_i - \vec{r}_j|$$

$s_{if}$  – odcinek pomiędzy ostatnim a pierwszym miastem

$$c_{ij} = \begin{cases} 0, & \text{brak połączenia} \\ 1, & \text{miasta połączone} \end{cases}$$

Ponieważ ważna jest kolejność odwiedzanych miast więc moglibyśmy dokonać zmiany kolejności pierwotnej miast a następnie długość trasy liczyć jako odległości między kolejnymi parami – sąsiadującymi na liście miastami

pierwotne położenie miast

$$\vec{d} = \{\vec{r}_1, \vec{r}_2, \dots, \vec{r}_n\}$$

wektor indeksów miast zgodny z miejscem na liście

$$P_1 = \{1, 2, 3, \dots, n\}$$

optymalna kolejność miast

$$\vec{d}_\alpha = \{\vec{r}_{\alpha_1}, \vec{r}_{\alpha_2}, \dots, \vec{r}_{\alpha_n}\}$$

wektor indeksów dla optymalnej trasy

$$P_\alpha = \{\alpha_1, \alpha_2, \alpha_3, \dots, \alpha_n\}$$

$$\min S = \sum_{i=1}^{n-1} s_{\alpha_i \alpha_{i+1}} + s_{\alpha_n \alpha_1}$$

- S to **funkcja kosztu**, szukamy takiej kombinacji miast aby znaleźć jej minimum

Zauważmy że wektor  $P_\alpha$  jest w zasadzie permutacją ciągu liczb zawartych w  $P_1$ .  
Ile ścieżek możemy skonstruować?

$$N_\alpha = n!$$

$$n = 10 \rightarrow N_\alpha = 10! = 3.6 \cdot 10^6$$

$$n = 20 \rightarrow N_\alpha = 20! = 2.4 \cdot 10^{18}$$

$$n = 50 \rightarrow N_\alpha = 50! = 3 \cdot 10^{64}$$

- metoda „brute force” polegająca na sprawdzaniu kolejnych permutacji jest w tym przypadku bezużyteczna
- jedynie metody stochastyczne (Monte Carlo) są w stanie poradzić sobie z tym problemem



Przykład. Poszukiwanie konfiguracji układu oddziałujących ciał o najmniejszej energii  
np. klastra atomów, wycinka kryształu itp.

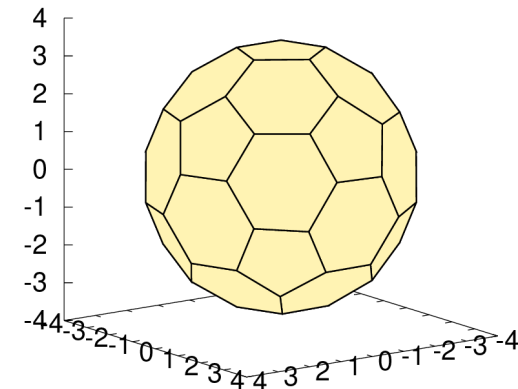
$$E_{tot} = V(\vec{r}_1, \vec{r}_2, \dots, \vec{r}_n) = \underbrace{\sum_i V_1(\vec{r}_i)}_{\text{pola zewnętrzne}} + \underbrace{\sum_i \sum_{j>i} V_2(\vec{r}_i, \vec{r}_j)}_{\text{dwuciałowe}} + \underbrace{\dots}_{\text{trojcialowe inne}}$$

Znalezienie minimum energii staje się trudne z dwóch powodów:

- liczba cząstek w układzie określa wymiar przestrzeni, w której pracujemy (d to liczba współrzędnych opsiujących pojedynczą cząstkę)
- w zależności od tego jak skomplikowaną postać ma potencjał oddziaływania zależy liczba lokalnych minimów funkcji kosztu (energii całkowitej), mogą one wręcz uniemożliwić znalezienie minimum globalnego

$$N = d \cdot n, \quad d = 1, 2, 3$$

N=60, max 3-nearest neighbours,  $E_{tot} = -421.2$  eV



## Rozkład Boltzmann

W metodzie symulowanego wyżarzania wykorzystujemy dwa czynniki:

- rozkład Boltzmann
- łańcuch Markowa

Rozkład Boltzmann został zdefiniowany dla układów opisywanych przy użyciu **zbioru kanonicznego**, ustalone są wówczas parametry:  $N$ ,  $V$ ,  $T$   
( $N$  - liczba cząstek,  $V$  – objętość układu,  $T$  – temperatura bezwzględna)

Określa on prawdopodobieństwo realizacji mikrostanu o energii  $E_i$

$$p(E_i) = p_i = \frac{\exp\left(-\frac{E_i}{kT}\right)}{Z} = \frac{\exp\left(-\frac{E_i}{kT}\right)}{\sum_j \exp\left(-\frac{E_j}{kT}\right)}$$

$Z$  jest funkcją rozdziału i pełni rolę czynnika normalizacyjnego.  
Zazwyczaj jej nie znamy bo nie wiemy jakie są energie  $E_i$ .

Ponieważ zakładamy, że tylko  $N, V, T$  są stałe, więc energia układu może się zmieniać w czasie.  
To oznacza że dla  $T > 0$  układ może znajdować się w stanach o różnej energii, ale wyraźnie będą preferowane stany o niższej energii (większe  $p(E)$ ) niż te o wysokiej.

Dysponując wyrażeniem określającym prawdopodobieństwo obsadzenia stanów, moglibyśmy określić wartość oczekiwaną energii układu dla danej temperatury  $T$

$$\langle E \rangle_{NVT} = \sum_j E_j p_j$$

## Łańcuch Markowa, algorytm Metropolisa

Pomimo prostoty wyrażenia nie jesteśmy w stanie od razu wyznaczyć wartości oczekiwanej energii, gdyż nie znamy Z. Zauważmy, że energia układu jest funkcją położenia i pędów cząstek – opisywanego wektorem w przestrzeni fazowej

$$E_i = E_i(\vec{r}_1, \vec{r}_2, \dots, \vec{r}_n, \vec{p}_1, \vec{p}_2, \dots, \vec{p}_n) = E_i(X)$$

zmiana jednej współrzędnej zmienia położenie w przestrzeni fazowej czyli stan  $X \rightarrow Y$

- różne realizacje wektora X będą odpowiadały różnym prawdopodobieństwom realizacji tych stanów
- prawdopodobieństwo realizacji stanu w przestrzeni fazowej (fgp) zapiszmy jako  $f(X)$  z warunkiem normalizacji

$$\int_{\Omega} f(X) dX = 1, \quad dX = dr_1 dr_2 \dots dp_1 dp_2 \dots$$

- w warunkach równowagi termodynamicznej prawdopodobieństwa przejścia pomiędzy stanami X i Y oraz Y i X powinny być identyczne

$$\underbrace{K(X|Y)f(Y)}_{Y \rightarrow X} = \underbrace{K(Y|X)f(X)}_{X \rightarrow Y}$$

Częstość przejść K zdefiniujemy jako iloczyn częstości T (którą sami określimy) oraz nieznanego prawdopodobieństwa akceptacji A

$$A(X|Y)T(X|Y)f(Y) = A(Y|X)T(Y|X)f(X)$$

$$A(X|Y) = A(Y|X) \frac{T(Y|X)f(X)}{T(X|Y)f(Y)} = A(Y|X)q(X|Y)$$

Nie znamy  $A(Y|X)$ , więc chcąc znaleźć  $A(X|Y)$  musimy oprzeć się jedynie na znajomości wartości  $q(X|Y)$



**Metropolis** zaproponował aby prawdopodobieństwo akceptacji nowego stanu określać na podstawie wyrażenia

$$p_{acc} = A(X|Y) = \min\{1, q(X|Y)\}$$

Od nas zależy postać wyrazu określającego częstość przejść  $T$ .  
Najprościej jest założyć

$$T(X|Y) = T(Y|X)$$

Ponadto wykorzystując fakt że fgp w przestrzeni fazowej ma postać

$$f(X) = \frac{\exp\left(-\frac{E(X)}{kT}\right)}{Z}$$

możemy w łatwy sposób określić prawdopodobieństwo akceptacji nowego stanu

$$q(X|Y) = \frac{T(X|Y) \exp\left(-\frac{E(X)}{kT}\right)}{T(X|Y) \exp\left(-\frac{E(X)}{kT}\right)} = \exp\left(-\frac{E(X) - E(Y)}{kT}\right)$$

$$p_{acc} = \min\left\{1, \exp\left(-\frac{E(X) - E(Y)}{kT}\right)\right\}$$

- wzór Metropolis

Prawdopodobieństwo akceptacji zaproponowane przez Metropolisa nie jest jedynym wyborem. Alternatywnie można je określić następująco (**wzór Glaubera**)

$$p_{acc}^G = A'(X|Y) = \frac{q(X|Y)}{1 + q(X|Y)}$$

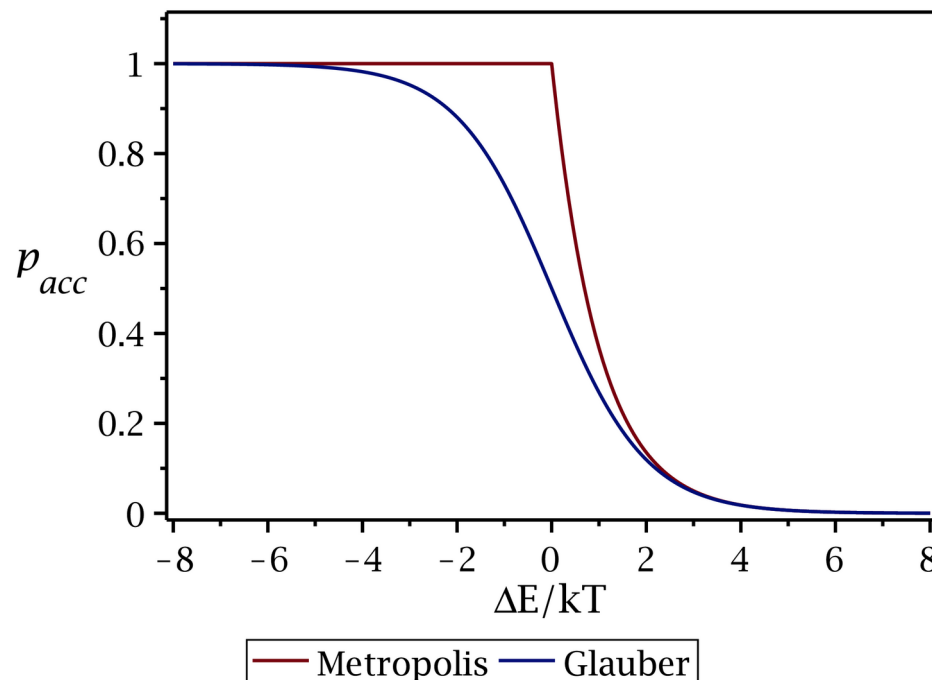
- taka postać  $p_{acc}$  również zapewnia spełnienie warunku szczególnej równowagi

## Glauber

$$p_{acc}^G = \frac{\exp\left(-\frac{E(X)-E(Y)}{kT}\right)}{1 + \exp\left(-\frac{E(X)-E(Y)}{kT}\right)} = \frac{1}{1 + \exp\left(-\frac{\Delta E}{kT}\right)}$$

## Metropolis

$$p_{acc} = \min\left\{1, \exp\left(-\frac{E(X)-E(Y)}{kT}\right)\right\}$$



- różnica występuje gdy  $E(X) \sim E(Y)$ , wpływa to na proces generowania łańcucha Markowa (mniejsze praw. akceptacji) a dokładniej na szybkość dochodzenia układu do równowagi
- dla większych różnic energii oba wzory dają identyczne wyniki
- po osiągnięciu stanu równowagi nie ma znaczenia, którego wzoru użyjemy

Przy użyciu wzoru  $T(X_{n+1}|X_n)$  oraz  $p_{acc}$  możemy wygenerować ciąg stanów w przestrzeni fazowej tzw. łańcuch Markowa

$$X_1 \rightarrow X_2 \rightarrow X_3 \rightarrow \dots \rightarrow X_n$$

- prawdopodobieństwo wystąpienia stanu  $X_n$  zależy będzie od  $f(X)$  i ustalonej temperatury  $T$  układu
- w ten sposób nie znając  $f(X)$  (bo nie znamy  $Z$ ) przy użyciu łańcucha Markowa możemy szacować wartości wielkości fizycznych

$$\langle O \rangle = \int_{\Omega} O(X) f(X) dX \quad \longrightarrow \quad \bar{O} = \sum_{i=1}^n O(X_i), \quad X_i \sim dist\{f(X)\}$$

## Algorytm Metropolisa generowania łańcucha Markowa

- 1) aktualna postać łańcucha  $\{X_1, X_2, \dots, X_n\}$
- 2) wylosuj nowy stan  $T(Y|X_n) \rightarrow Y$
- 3) określ prawdopodobieństwo akceptacji nowego stanu  $p_{acc} = \min \left\{ 1, \exp \left( -\frac{E(Y) - E(X_n)}{kT} \right) \right\}$
- 4) wylosuj liczbę o rozkładzie jednorodnym  $U_1 \sim U(0, 1)$
- 5) sprawdź czy wynik jest akceptowalny  $\begin{cases} U_1 \leq p_{acc} & \rightarrow X_{n+1} = Y \\ U_1 > p_{acc} & \rightarrow X_{n+1} = X_n \end{cases}$
- 6) łańcuch po modyfikacji  $\{X_1, X_2, \dots, X_n, X_{n+1}\}$

- jeśli nie akceptujemy nowego stanu to nowym elementem ciągu jest  $X_n$

- generując odpowiednio długi łańcuch oczekujemy, że dokonamy poprawnego próbkowania  $f(X)$  dla danej  $T$  inaczej: ciąg stanów będzie ergodyczny (łańcuch aperiodyczny i homogeniczny)
- elementy łańcucha Markowa są skorelowane, bo gdy nie akceptujemy nowego stanu powielamy poprzedni

## Metoda symulowanego wyżarzania

Wiemy już jak osiągnąć stan równowagi termodynamicznej w określonej temperaturze  
 - inaczej: otrzymać **optymalny rozkład obsadzeń stanów danej temperaturze**.

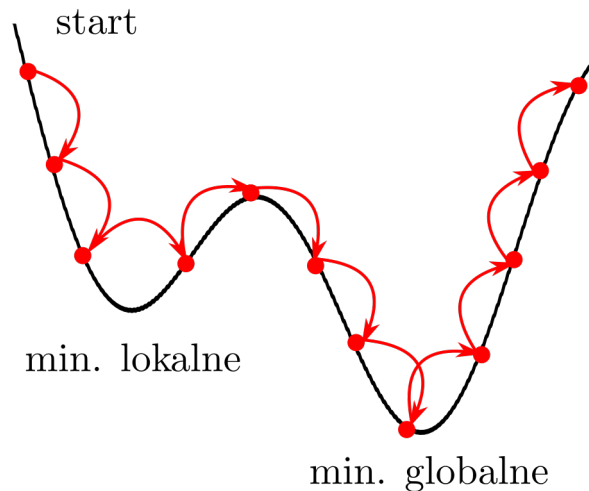
Możemy teraz wykorzystać algorytm Metropolis'a w celu znalezienia stanu o najniższej energii,  
 a jeśli energię zamienimy na dowolną inną zmienną lub zestaw zmiennych to metoda ta posłuży  
 nam do znalezienia minimum wartości funkcji.

Trzeba tylko umiejętnie dobrać temperaturę....

$$E = f(x)$$

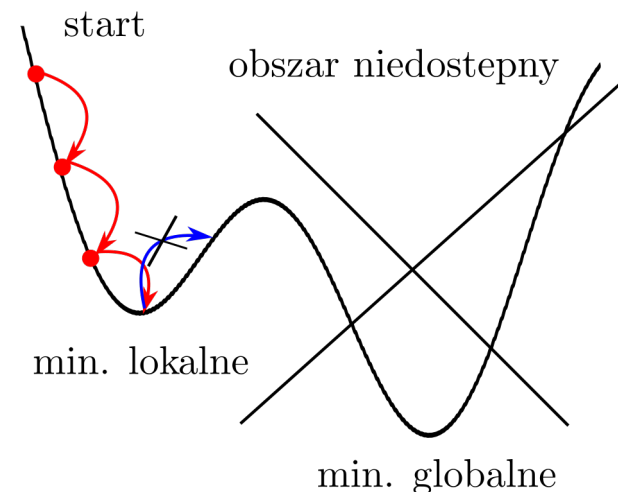
$$p_{acc} = \min \left\{ 1, \exp \left( -\frac{f(x_{new}) - f(x_{old})}{kT} \right) \right\}$$

$$T \gg 1 \rightarrow p_{acc}(E_{new} > E_{old}) > 0$$



- jeśli T jest duże, to prawdopodobieństwo akceptacji nowego wyniku też jest duże
- „wędrowiec” może w sposób losowy odwiedzić dowolne miejsce w przestrzeni znajdując minimum

$$T \ll 1 \rightarrow p_{acc}(E_{new} > E_{old}) \sim 0$$



- małe T oznacza bardzo małe prawdopodobieństwo zaakceptowania wyniku o większej wartości funkcji celu  $f(x)$
- ruch „wędrowca” ograniczony do lokalnej doliny  $f(x)$
- dostęp do minimum globalnego może zostać zablokowany

Analiza przykładu prowadzi do wniosków

- im wyższa temperatura tym większy obszar dostępny dla wędrowca
- dla wysokiej temperatury wędrowiec przebywa w minimum globalnym tylko przez chwilę i w kolejnej iteracji ucieka
- w niskiej temperaturze ruch wędrowca jest silnie ograniczony przez niskie prawdopodobieństwo akceptacji miejsca w którym funkcja ma większą wartość niż obecnie
- **poszukiwanie minimum to proces stochastyczny, aby zwiększyć szansę jego znalezienia można (trzeba?) użyć większej populacji wędrowców**
- **proces poszukiwania minimum zaczynamy od wysokiej temperatury i stopniowo ją obniżamy, mamy nadzieję że przynajmniej jeden wędrowiec znajdzie się w okolicy minimum globalnego**
- **konieczne staje się wprowadzenie funkcji opisującej zmiany temperatury, to jeden z kluczowych aspektów algorytmu**

Przez analogię do metody powolnego schładzania (wyżarzania) materiałów w celu likwidacji naprężeń i defektów, algorytm ten nosi nazwę **metody symulowanego wyżarzania**.

Soczewki do największych teleskopów podlegają wyżarzaniu nawet przez 2 lata – chodzi o zmniejszenie naprężeń które powodują lokalną zmianę współczynnika załamania światła co jest jedną z przyczyn aberracji.

Sposób zmiany temperatury w metodzie SA może być kluczowy dla osiągnięcia minimum.

Najprostszy sposób to zmiana skokowa o zdaną wartość  $\Delta T$  i wykonywanie  $IT_{max}$  iteracji w danej temperaturze w celu osiągnięcia równowagi termodynamicznej z otoczeniem.

```
inicjalizacja :    $T_{min}$  ,  $T_{max}$   
                   $M$  - liczba punktów pośrednich temperatury  
                   $\Delta T = \frac{T_{max} - T_{min}}{M}$   
  
for (m=0; m <= M; m++){  
  
     $T = T_{max} - m \cdot \Delta T$   
  
    for (it=1; it <=  $IT_{max}$ ; it++){  
        jeden_krok_SA ();  
    }  
  
}
```

Można też uzależnić temperaturę od numeru iteracji w sposób bezpośredni bazując na zależności np. jednomianowej

$$y = x^p, \quad x, y \in (0, 1), \quad p \in R$$

$$y = \frac{T - T_{min}}{T_{max} - T_{min}}$$

$$x = \frac{IT_{max} - it}{IT_{max}}$$

$$T = T(it) = T_{min} + (T_{max} - T_{min}) \left( \frac{IT_{max} - it}{IT_{max}} \right)^p$$

- wyrażenie opisuje temperaturę która w każdej iteracji będzie inna niż w pozostałych
- tempo zmian temperatury zależy od wartości parametru p:
  - p=1 - tempo liniowe
  - p>1 – tempo nieliniowe, przy czym na początku symulacji temperatura obniża się szybko, później wolniej
  - p<1 – tempo nieliniowe, na początku temperatura obniża się wolno, później szybko

Wzór można dopasować do postaci dyskretnej, co odpowiada wykonywaniu pewnej liczby iteracji w stałej temperaturze

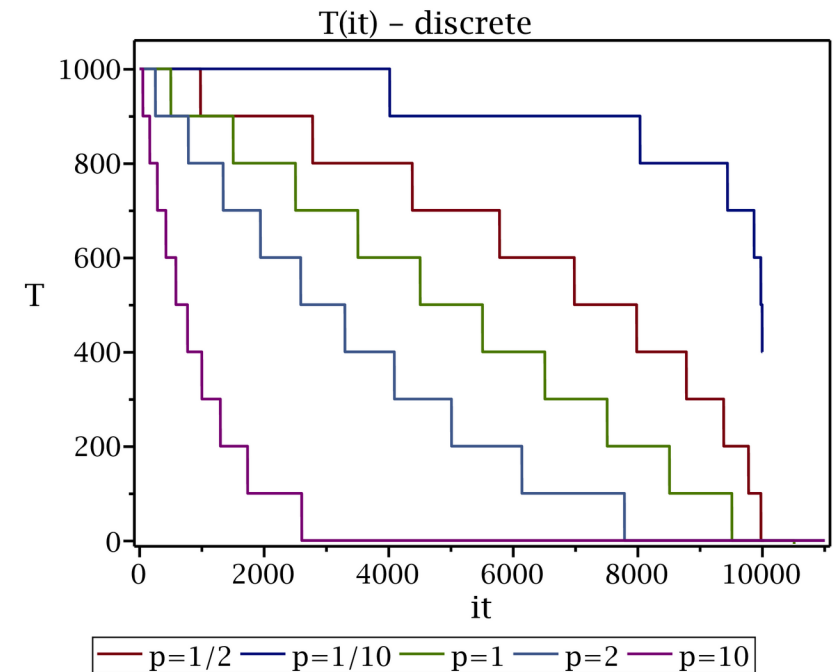
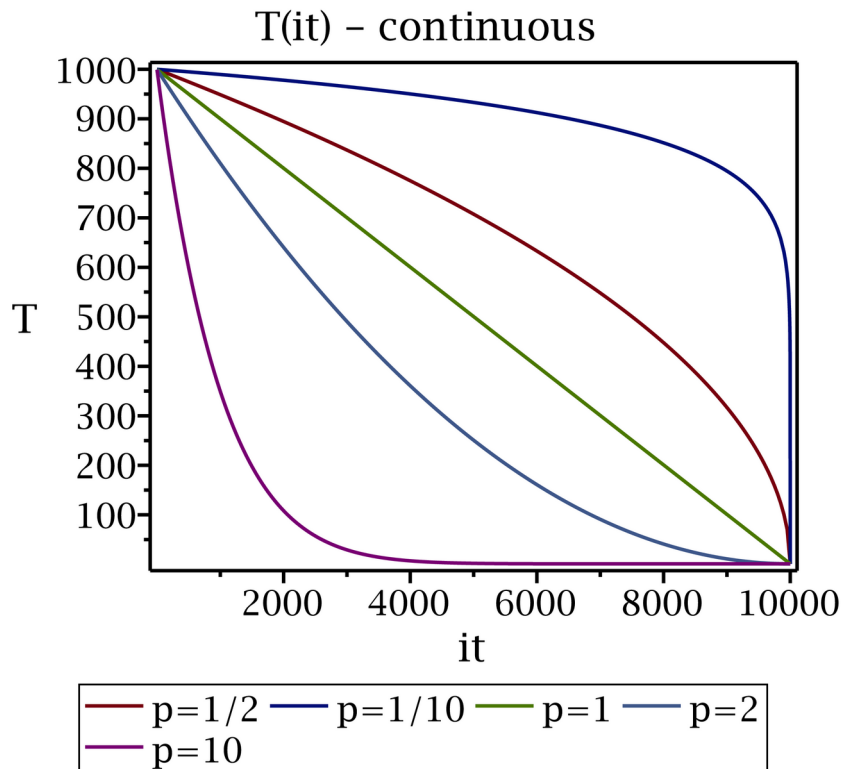
$$\Delta T = \frac{T_{max} - T_{min}}{M}$$

$$T_d = \text{round} \left( \frac{T}{\Delta T} \right) \Delta T + T_{min}$$



Przykład – zmiana temperatury w funkcji numeru iteracji

$$T_{min} = 1, \quad T_{max} = 10^3, \quad IT_{max} = 10^4$$



- punktem startowym symulacji może być zmiana liniowa (ciągła lub dyskretna)
- w zależności od przypadku, zmiana liniowa może nie być optymalna, czasem warto układ utrzymywać „nieco dłużej” w wyższej temperaturze, a później szybko schłodzić – lub odwrotnie, przekonać się o tym można wykonując serię symulacji testowych

## Algorytm symulowanego wyzarczenia

```

inicjalizacja :    $T_{min}$  ,  $T_{max}$ 
                   $M$  - liczba punktów pośrednich temperatury
                   $n$  - liczba wymiarów
                   $N$  - liczba wedrowców
                   $\vec{\Delta}_{max} = [\Delta_1, \Delta_2, \dots, \Delta_n]$ 
                   $\vec{r}_i = [x_{i,1}, x_{i,2}, \dots, x_{i,n}]$  - wektor startowy  $i$ -tego wedrowca

                  
$$\Delta T = \frac{T_{max} - T_{min}}{M}$$


for ( it=1; it <=  $IT_{max}$ ; it++){

     $T = T(it)$ 

    for ( i=1; i <=  $N$ ; i++){

        
$$\vec{\Delta} \sim dist\{U^n(\cdot, \cdot)\} \quad |\vec{\Delta}| \leq |\vec{\Delta}_{max}|$$

        
$$\vec{r}_i^{new} = \vec{r}_i + \vec{\Delta}$$

        
$$p_{acc} = \min \left\{ 1, \exp \left( -\frac{f(\vec{r}_i^{new}) - f(\vec{r}_i)}{kT} \right) \right\}$$


         $U_1 \sim U(0, 1)$ 
        if ( $U_1 \leq p_{acc}$ ) {
            
$$\vec{r}_i \leftarrow \vec{r}_i^{new}$$

        } else {
            
$$\vec{r}_i \text{ - bez zmian}$$

        }
    }
}

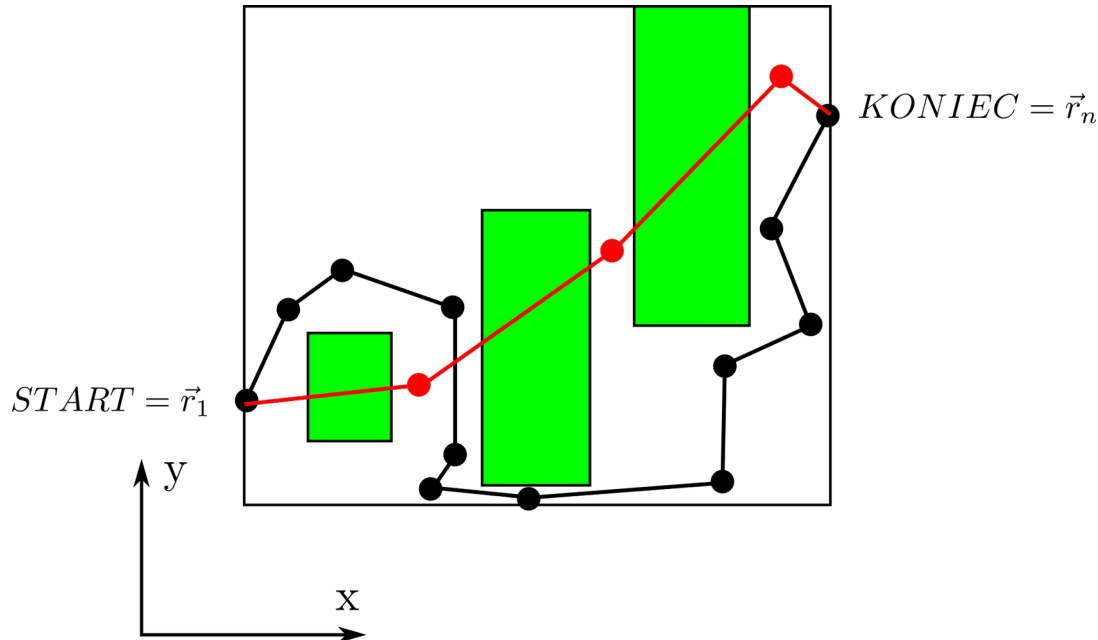
```

## Przykład. Poszukiwanie najkrótszej trasy w mieście.

Wykorzystajmy metodę SA do znalezienia najkrótszej drogi łączącej dwa punkty w mieście

Założenia:

- algorytm powinien uwzględniać konieczność omijania budynków
- punkty: startowy i końcowy są ustalone (wejście/wyjście)
- liczba punktów pośrednich określana jest przed symulacją (możemy ją zmieniać, dopasować do problemu)
- położenie punktów pośrednich będziemy zmieniać przy użyciu algorytmu SA - punkty swobodne
- w symulacji użyjemy populacji N niezależnych wędrowców



Uwagi do rysunku:

- obszary zielone to budynki
- czarna krzywa łamana to trasa bliska optymalnej (taką moglibyśmy zaakceptować)  
zawiera dużą liczbę punktów swobodnych
- czerwona krzywa łamana to trasa nieakceptowalna bo przechodzi przez budynki  
zawiera małą liczbę punktów swobodnych
- im więcej krzywa posiada punktów swobodnych tym łatwiej jest jej ominąć budynki, ale jednocześnie zwiększa to liczbę wymiarów opisujących problem

Konstruujemy funkcję celu/kosztu

- argumentami muszą być punkty stanowiące krańce odcinków łączących wejście z wyjściem

$$f = f(\vec{r}_1, \vec{r}_2, \dots, \vec{r}_{n-1}, \vec{r}_n)$$

$\vec{r}_1, \vec{r}_n$  - parametry modelu

$\vec{r}_2, \vec{r}_3, \dots, \vec{r}_{n-1}$  - zmienne (stopnie swobody)

ograniczenia przestrzenne

$$x_i \in [x_{min}, x_{max}]$$
$$y_i \in [y_{min}, y_{max}]$$

wymiarowość problemu

$$dim\{\vec{r}_2, \vec{r}_3, \dots, \vec{r}_{n-1}\} = 2 \cdot (n - 1)$$

Ponieważ trasa składa się z odcinków, więc najłatwiej skonstruować funkcję celu w postaci sumy wkładów wnoszonych przez poszczególne odcinki

$$f = \sum_{i=1}^{n-1} d_{i,i+1}$$

- jeśli trasa przechodzi pomiędzy budynkami to  $f$  określa jej długość
- najmniejsza wartość  $f$  powinna opisywać najkrótszą trasę
- jeśli odcinek przecina budynek to oprócz jego długości współczynnik  $d_{i,i+1}$  powinien zawierać dodatkowy nieujemny czynnik stanowiący karę, to spowoduje że wartość funkcji celu bardzo wzrośnie i takie rozwiązanie będzie odrzucane lub akceptowane z małym prawdopodobieństwem

# Optymalizacja Monte Carlo

- wkład danego odcinka z możliwą karą za przejście przez budynek np. w postaci potencjału schodkowego

$$d_{i,i+1} = \int_{\vec{r}_i}^{\vec{r}_{i+1}} [1 + V(\vec{r})] ds, \quad ds = \sqrt{dx^2 + dy^2}$$

$$V(\vec{r}) = \begin{cases} 0, & \text{empty field} \\ V_{max} \gg 1, & \text{building} \end{cases}$$

Całkowanie wykonajmy numerycznie przy użyciu **metody trapezów** dla (K+1) węzłów  
- takie podejście jest dość ogólne i pozwala na łatwą zmianę potencjału kary

$$\Delta x = \frac{x_{i+1} - x_i}{K}$$

$$\Delta y = \frac{y_{i+1} - y_i}{K}$$

$$x_\mu = x_i + \mu \cdot \Delta x,$$

$$\mu = 0, 1, \dots, K$$

$$\vec{r}_\mu = [x_\mu, y_\mu]$$

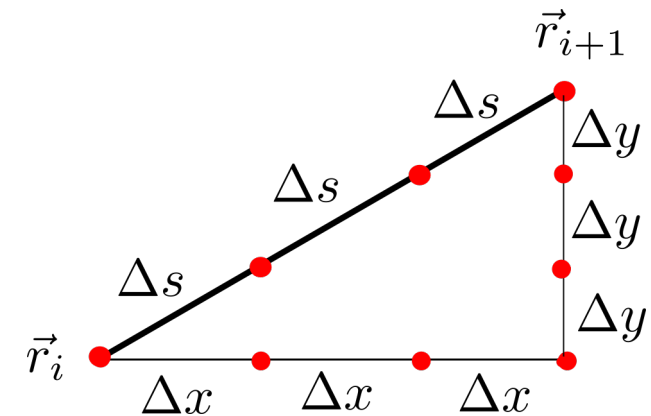
$$y_\mu = y_i + k \cdot \Delta y,$$

$$\mu = 0, 1, \dots, K$$

$$d_{i,i+1} = \int_{\vec{r}_i}^{\vec{r}_{i+1}} [1 + V(\vec{r})] ds \approx \sum_{\mu=0}^K c_\mu [V(\vec{r}_\mu)] \cdot \Delta s$$

$$\Delta s = \sqrt{\Delta x^2 + \Delta y^2}$$

$$c_\mu = \begin{cases} \frac{1}{2} & \iff \mu = 0, K \\ 1 & \iff \mu = 2, 3, \dots, K-1 \end{cases}$$



Uwaga: spodziewamy się że tylko część odcinka  $\Delta s$  może przechodzić przez budynek, co prowadzi do powstawiania błędów całkowania, ale jeśli K jest duże (np. K=100) to błąd ten staje się mały, pamiętajmy także że naszym celem jest trasa omijająca budynki – wówczas błąd całkowania będzie zniknął (bo potencjał kary zniknął)

- konstruujemy tablicę danych zawierającą informacje o trasach N wędrowców k  
- w niej będziemy dokonywać zmian

$$\vec{f} = \begin{array}{|c|c|c|c|c|c|} \hline \vec{r}_1 & \vec{r}_{1,2} & \vec{r}_{1,3} & \dots & \vec{r}_{1,n-1} & \vec{r}_n \\ \hline \vec{r}_1 & \vec{r}_{2,2} & \vec{r}_{2,3} & \dots & \vec{r}_{2,n-1} & \vec{r}_n \\ \hline \vec{r}_1 & \vdots & \vdots & \vdots & \vdots & \vec{r}_n \\ \hline \vec{r}_1 & \vec{r}_{N,2} & \vec{r}_{N,3} & \dots & \vec{r}_{N,n-1} & \vec{r}_n \\ \hline \end{array}$$

- zmiany położenia punktów swobodnych wykonujemy losowo w obu kierunkach nie przekraczając wyznaczonych granic obszaru  $\Omega$

$\Delta_{max}$  – ustalone

$U_1, U_2 \sim U(0, 1)$

$\delta x = (2U_1 - 1)\Delta_{max}$

$\delta y = (2U_2 - 1)\Delta_{max}$

$\vec{r}_{i,j}^{new} = \vec{r}_{i,j} + [\delta x, \delta y]$

$\Omega = [x_{min}, x_{max}] \times [y_{min}, y_{max}]$

if ( $\vec{r}_{i,j}^{new} \in \Omega$ ) {

$p_{acc} = \min \{1, \exp(-\beta[f(\vec{r}_{i,j}^{new}) - f(\vec{r}_{i,j})])\} = \min \{1, \exp(-\beta[d_{j-1,j}^{new} + d_{j,j+1}^{new} - d_{j-1,j} - d_{j,j+1}])\}$

$U_3 \sim U(0, 1)$

if ( $U_3 \leq p_{acc}$ ) {

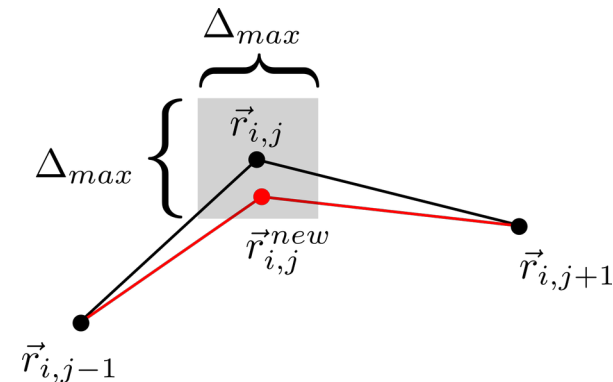
$\vec{r}_{i,j} \leftarrow \vec{r}_{i,j}^{new}$

} else {

$\vec{r}_{i,j}$  – bez zmian

}

}



$$d_{j,j+1} = \int_{\vec{r}_j}^{\vec{r}_{j+1}} [1 + V(\vec{r})] ds$$

# Optymalizacja Monte Carlo

Parametry symulacji:

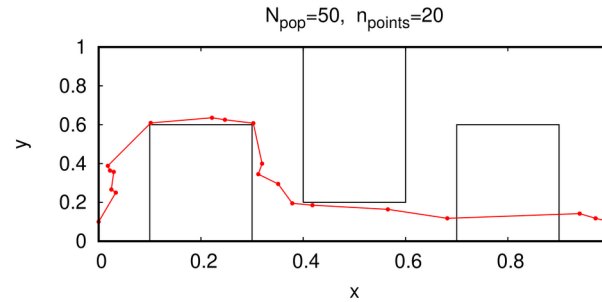
$$\beta_{min} = 10^{-6}, \quad \beta_{max} = 10^2$$

$$N = 50, \quad n = 20, \quad IT_{max} = 10^4$$

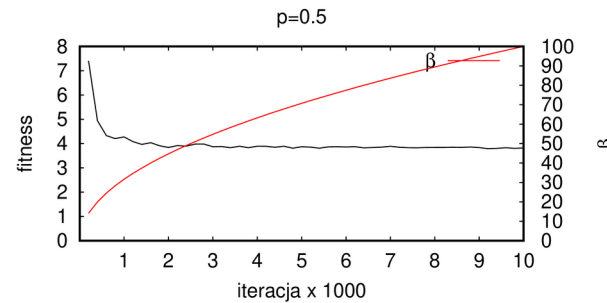
$$\Omega = [0, 1] \times [0, 1]$$

$$\Delta_{max} = 0.03$$

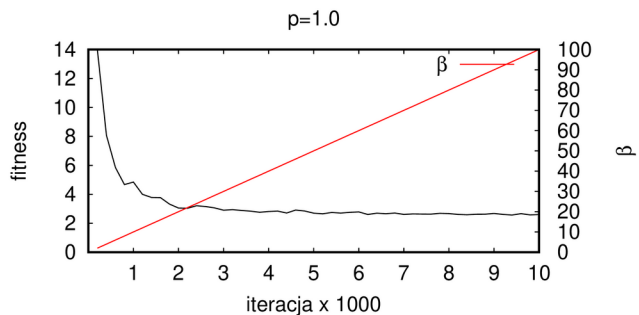
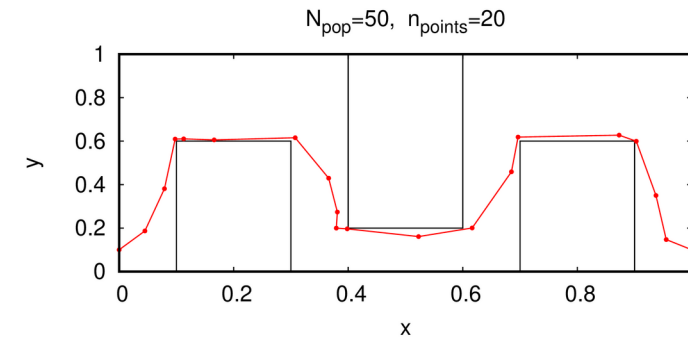
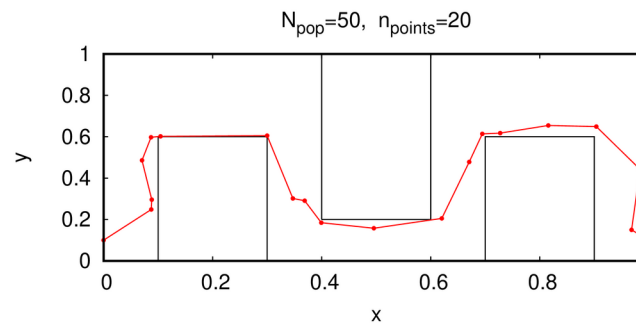
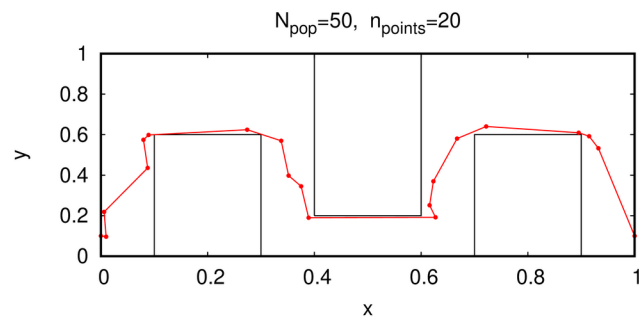
$$p = \frac{1}{2}, 1, 2, 6$$



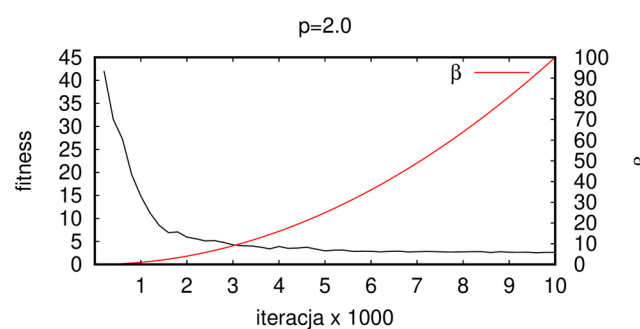
tu optymalizacja ścieżki nie powiodła się, ponieważ wartość  $\beta$  rośnie zbyt szybko co obniża  $p_{acc}$ , a trzeba przesunąć odcinek (2 punkty)



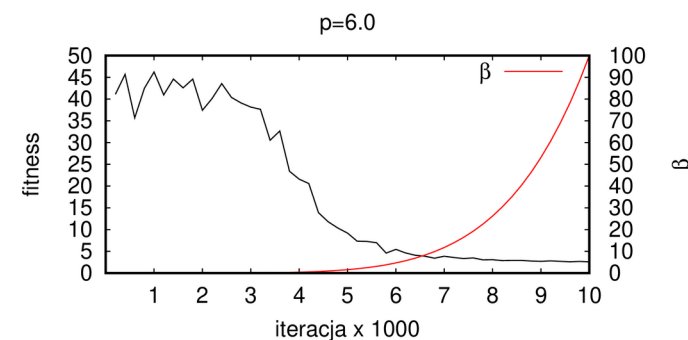
$$f_{p=1/2} = 3.82$$



$$f_{p=1} = 2.601$$



$$f_{p=2} = 2.617$$



$$f_{p=6} = 2.575$$